



DOI: 10.1002/ange.201802277





Sauerstoff

Lithiumbatterien Very Important Paper

Elektrochemische Oxidation von Lithiumcarbonat generiert Singulett-

Deutsche Ausgabe:

Nika Mahne, Sara E. Renfrew, Bryan D. McCloskey und Stefan A. Freunberger*

Abstract: Feste Alkalicarbonate sind universelle Bestandteile von Passivierungsschichten an Materialien für Interkalationsbatterien, übliche Nebenprodukte in Metall-O2-Batterien, und es wird angenommen, dass sie sich reversibel in Metall-O₂/ CO₂-Zellen bilden und zersetzen. In all diesen Kathoden zersetzt sich Li₂CO₃ zu CO₂, sobald es Spannungen > 3.8 V vs. Li/ Li⁺ ausgesetzt wird. Beachtenswert ist, dass keine O₂-Entwicklung detektiert wird, wie gemäß der Zersetzungsreaktion $2Li_2CO_3 \rightarrow 4Li^+ + 4e^- + 2CO_2 + O_2$ zu erwarten wäre. Deswegen war der Verbleib eines der O-Atome ungeklärt und wurde nicht identifizierten parasitären Reaktionen zugerechnet. Hier zeigen wir, dass hochreaktiver Singulett-Sauerstoff $(^{1}O_{2})$ bei der Oxidation von $Li_{2}CO_{3}$ in einem aprotischen Elektrolyten gebildet und daher nicht als O_2 freigesetzt wird. Diese Ergebnisse haben weitreichende Auswirkungen auf die langfristige Zyklisierbarkeit von Batterien: sie untermauern die Wichtigkeit, ${}^{1}O_{2}$ in Metall- O_{2} -Batterien zu verhindern, stellen die Möglichkeit einer reversiblen Metall-O2/CO2-Batterie basierend auf einem Carbonat-Entladeprodukt in Frage und helfen, Grenzflächenreaktivität von Übergangsmetallkathoden mit Li₂CO₃-Resten zu erklären.

n Lithium-basierten Batterien ist die Energiespeicherung durch die Kathode limitiert, weshalb intensive Forschung unternommen wird, um die Kathodenkapazität und/oder Spannung zu erhöhen.^[1] Die Möglichkeiten umfassen Listöchiometrische^[2] und Li-reiche^[3] Übergangsmetalloxid-(ÜMO)-Interkalationskathoden, mit höherer Spannung und Kapazität als momentan verwendete Kathoden und Metall-

[*] N. Mahne, Dr. S. A. Freunberger Institut für Chemische Technologie von Materialien Technische Universität Graz Stremayrgasse 9, 8010 Graz (Österreich) E-Mail: freunberger@tugraz.at

S. E. Renfrew, Prof. B. D. McCloskey Energy Storage and Distributed Resources Division Lawrence Berkeley National Laboratory

Department of Chemical and Biomolecular Engineering University of California – Berkeley Berkeley, CA 94720 (USA)

Hintergrundinformationen und die Identifikationsnummer (ORCID) eines Autors sind unter https://doi.org/10.1002/ange.201802277 zu finden.

© 2018 Die Autoren. Veröffentlicht von Wiley-VCH Verlag GmbH & Co. KGaA. Dieser Open Access Beitrag steht unter den Bedingungen der Creative Commons Attribution Non-Commercial NoDerivs License, die eine Nutzung und Verbreitung in allen Medien gestattet, sofern der ursprüngliche Beitrag ordnungsgemäß zitiert und nicht für kommerzielle Zwecke genutzt wird und keine Änderungen und Anpassungen vorgenommen werden.

O₂- oder Metall-O₂/CO₂-Kathoden^[1,4] mit niedrigerer Spannung, aber wesentlich höherer theoretischer Kapazität. Um Hochspannungs-ÜMO einsetzbar zu machen ist es erforderlich, deren reversibles Potentialfenster zu erweitern, indem man die Hochspannungsinstabilitäten von Interkalationsmaterialien und Elektrolyten zu verstehen lernt.^[1] Eine lange Reihe gegenwärtiger Arbeiten hat eine enge gegenseitige Abhängigkeit von Elektrolytzersetzung, Bildung/Zersetzung von Oberflächenspezies und der Umwandlung von ÜMO-Bulk und Oberflächen gezeigt. [2d,3d,5] Insbesondere wurde kürzlich herausgefunden, dass die Gasabgabe von CO2 während des ersten Zyklus in Li-Ionen-Batterien größtenteils von verbleibendem Li₂CO₃ bestimmt wird, das wiederum die O₂-Freisetzung aus dem ÜMO-Kristallgitter beeinflusst. [5b] In Li-O₂-Batterien ist Li₂CO₃ ein unerwünschtes parasitäres Nebenprodukt, das die Wiederaufladbarkeit beeinträchtigt, während des Entlade- und Ladevorgangs akkumuliert wird und daher schlechte Energieeffizienz und Lebensdauer bewirkt. [1,4a-f] Der Nachteil der Lithiumcarbonat-Bildung konnte scheinbar in wiederaufladbaren Metall-O₂/CO₂-Batterien nutzbar gemacht werden, da beobachtet wurde, dass Li₂CO₃ elektrochemisch zersetzt werden kann. [4f-j,6]

Daher spielt Li₂CO₃, sei es ein Spuren- oder Hauptbestandteil, eine zentrale Rolle in der Zyklisierbarkeit und Stabilität eines Großteils zukünftiger Li-Batteriesysteme, wodurch das Verständnis seiner elektrochemischen Oxidation eine zentrale Bedeutung für deren zukünftige Entwicklungen einnimmt. Während es eindeutig ist, dass die Zersetzung von Li₂CO₃ CO₂ freisetzt, war der Verbleib des dritten O-Atoms in CO₃²⁻ eine beständige, ungeklärte Frage, da kein O₂ freigesetzt wird, wie gemäß der formalen Oxidationsreaktion zu erwarten wäre. [3e,4c,f-h,j,5b]

$$2 \text{Li}_2 \text{CO}_3 \rightarrow 4 \text{Li}^+ + 4 \text{e}^- + 2 \text{CO}_2 + \text{O}_2 \quad E^\circ = 3.82 \text{ V vs. Li/Li}^+$$
(1)

Bisherige Erklärungen haben die Bildung von Superoxid-Radikalen oder "naszierendem Sauerstoff" vorgeschlagen, die mit Zellkomponenten in einem C-involvierenden Reaktionsweg, $^{[4f,6]}$ reagieren könnten, allerdings ohne definitiven Beweis für diese Mechanismen. Hier erbringen wir den überzeugenden Beweis, dass die elektrochemische Oxidation von Li₂CO₃ hochreaktiven Singulett-Sauerstoff bildet, der das Fehlen von O₂-Entwicklung, durch parasitäre Reaktionen von Singulett-Sauerstoff mit Batteriekomponenten erklärt. In Anbetracht seiner außergewöhnlichen Reaktivität hat die $^1\mathrm{O}_2$ -Bildung weitgreifende Folgen für die Oberflächenreaktivität von ÜMO-Kathoden und auf gekoppelte, parasitäre Reaktionen während des Ladens von Metall-O₂- und Metall-O₂/CO₂-Batterien.







¹O₂ kann mittels chemischer Sonden detektiert werden, die spezifisch mit ¹O₂ reagieren und spektroskopisch durch das Verschwinden der Sonde und/oder das Erscheinen des Addukts gemessen werden können. Bekannte Sonden umfassen Fluorophore oder Spin-Fallen, die durch Fluoreszenz Ein-/Ausschaltung oder EPR-Spektroskopie detektiert werden können.^[7] Allerdings sind diese Sonden typischerweise elektrochemisch nicht stabil oberhalb von 3.5-3.7 V vs. Li/Li⁺ und ermöglichen daher nicht den Zugang zum relevanten Spannungsbereich der Li₂CO₃-Oxidation über 3.8 V. Zuvor wurde gezeigt, dass 9,10-Dimethylanthracen (DMA) diese Bedingungen erfüllt: es bildet schnell sein Endoperoxid (DMA-O₂) in Gegenwart von ¹O₂; sowohl DMA als auch DMA-O₂ sind elektrochemisch stabil über 4 V hinaus (Abbildung S1); und DMA ist auch stabil gegen Superoxid - einer weiteren möglichen reaktiven Sauerstoffspezies. Sprich, die Exposition von DMA mit Superoxid führt nicht zur Bildung von DMA-O2, das sonst fälschlicherweise der Gegenwart von ¹O₂ zugewiesen werden könnte.^[8] Um zusätzlich zu bestätigen, dass DMA-O2 nur mit 1O2, aber nicht mit anderen möglichen reaktiven O-haltigen Spezies gebildet wird, haben wir separat einen DMA-haltigen Elektrolyten Li₂CO₃, O₂, CO₂ und Li₂O₂ ausgesetzt. Die Bildung von DMA-O₂ wurde nicht beobachtet (Abbildung S2). Gleiches gilt für DMA, das Li₂O₂ und CO₂ ausgesetzt wurde, was zur Bildung von Peroxodicarbonat, einem möglichen Intermediat der Li₂CO₃-Oxidation, führt. [9] Zusammenfassend bestätigen diese Ergebnisse, dass die DMA-zu-DMA-O2-Umsetzung eine sensitive und selektive Methode ist, um 1O2 in der Zelle zu de-

Um zu untersuchen, ob ¹O₂ während der Oxidation von Li₂CO₃ gebildet wird, haben wir elektrochemische Zellen mit Li₂CO₃-gepackten Arbeitselektroden, wie im Methodenteil in den Hintergrundinformationen beschrieben, betrieben. Li₂CO₃ wurde gemeinsam mit Kohlenstoff gemahlen, um engen Kontakt zwischen den Beiden zu gewährleisten. Das resultierende Pulver wurde verwendet, um Kompositelektroden mit PTFE-Binder herzustellen. Um spezifisch die Reaktion an der Arbeitselektrode zu untersuchen und unerwünschte Reaktionen des Elektrolyten mit einer Li-Metall-Anode auszuschließen, haben wir $\text{Li}_{1-x}\text{FePO}_4$ ($E^{\circ} = 3.45 \text{ V vs.}$ Li/Li⁺) als Gegen- und Referenzelektrode verwendet. Zuerst haben wir das Startpotential der Li₂CO₃-Oxidation festgestellt, indem wir eine Messung mit linearem Potentialvorschub in einem online elektrochemischen Massenspektrometrie(OEMS)-Aufbau verfolgten, um die Freisetzung von Gasen zu detektieren. Abbildung 1 zeigt CO₂-, O₂-, CO- und H₂-Entwicklung im Vergleich zur Elektronenverbrauchsrate. CO_2 -Entwicklung startet bei $\approx 3.8 \text{ V}$ und erreicht bei höheren Spannungen ein Verhältnis von ≈2 e⁻/CO₂. Man beachte, dass der kapazitive Strom zur anfänglichen Elektronenverbrauchsrate oberhalb der Leerlaufspannung (OCV) beiträgt und verursacht, dass die Elektronenverbrauchsrate immer geringfügig höher ist als die CO₂-Entwicklungsrate. Das Einsetzen der CO₂-Entwicklung bei 3.8 V ist in Übereinstimmung mit dem Gleichgewichtspotential von Reaktion 1 ($E^{\circ} = 3.82 \text{ V vs. Li/Li}^{+}$). [4c,6] Im Einklang mit zahlreichen Studien wurde im Verlauf des Ladens kein O2 detektiert. [4c,g,h,5b] H2- und CO-Entwicklung werden über 4.2 V

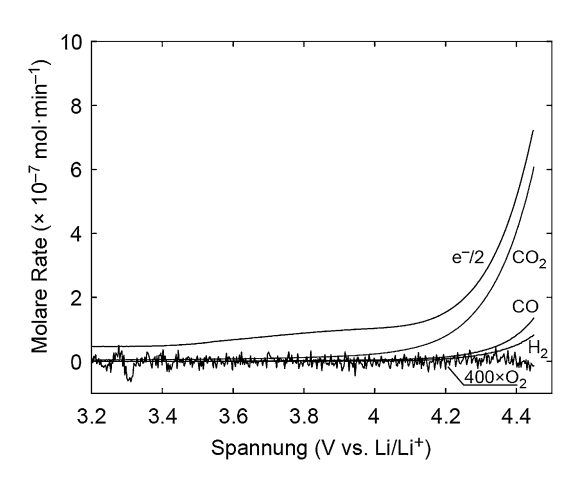


Abbildung 1. CO_2 -, O_2 -, CO_2 - und H_2 -Entwicklung von der Kohlenstoff/ $Li_2CO_3/PTFE$ (9:1:1, m:m)-Kompositelektrode während eines linearen Potentialvorschubes mit 0.14 mVs $^{-1}$ in 0.1 m LiTFSI in TEGDME in Ar-Atmosphäre.

während des anodischen Vorschubs der Li₂CO₃-gepackten Elektroden beobachtet, aber keine Gasentwicklung bis zu 4.5 V von den blanken Kohlenstoffelektroden (Abbildung S3). Die Abwesenheit von CO₂ bei Ladung einer blanken Elektrode beweist die Li₂CO₃-Oxidation in Abbildung 1 als CO₂-Quelle. Der Vergleich der Referenzmessung mit der Li₂CO₃-gepackten Elektrode deutet auch darauf hin, dass die H₂-Entwicklung, beobachtet in Abbildung 1, von einer parasitären Elektrolytzersetzungsreaktion, induziert von der Li₂CO₃-Oxidation herrühren muss, da der Elektrolyt in Li₂CO₃-freien Elektroden bis zumindest 4.5 V stabil erscheint.

Um zu untersuchen, ob hochreaktiver Singulett-Sauerstoff gebildet wird und damit die Abwesenheit von O₂-Freisetzung erklärt werden kann, haben wir Zellen mit denselben Li₂CO₃.Arbeitselektroden mit 0.1 m LiTFSI in Dimethoxyethan (DME) mit zusätzlich 30 mm DMA als Elektrolyten gebaut. Die Zellen wurden bei verschiedenen Ladepotentialen gehalten bis eine Kapazität von 0.064 mAh erreicht wurde. Der Elektrolyt wurde dann extrahiert und mittels HPLC und ¹H-NMR-Spektrokopie analysiert (Abbildung 2).

Die HPLC-Analyse zeigt, dass sich DMA-O₂ bei allen Ladespannungen ab 3.8 V gebildet hat (Abbildung 2a). Referenzmessungen, in denen Elektroden ohne Li₂CO₃ analog polarisiert wurden, führten nicht zur Bildung von DMA-O₂ (Abbildung S4). Die ¹H-NMR-Messung bestätigt gleichermaßen die Anwesenheit von DMA-O₂ bei allen Spannungen (Abbildung 2b, S6). Die HPLC- und NMR-Ergebnisse bestätigen, dass die elektrochemische Oxidation von Li₂CO₃ von seinem Ansatz bei 3.8 V ¹O₂ bildet.

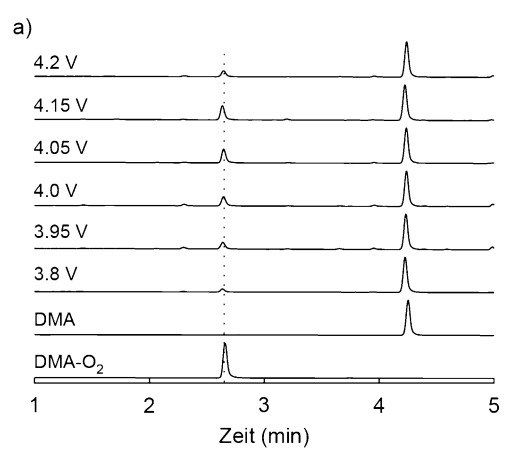
Abbildung 3 korreliert die gebildete Menge an $^1\mathrm{O}_2$ zur umgesetzten Kapazität gemäß Reaktion 2.

$$2\,Li_2CO_3 \ \to \ 4\,Li^+ \ + \ 4\,e^- \ + \ 2\,CO_2 \ + \ ^1O_2 \eqno(2)$$

Maximal ein ${}^{1}O_{2}$ kann pro vier Elektronen erzeugt werden. ${}^{1}O_{2}$ hat sich bei allen untersuchten Spannungen zu einem Ausmaß von weit über 50 % des $4\,\mathrm{e}^{-/1}O_{2}$ -Limits gebildet. Die Menge an ${}^{1}O_{2}$ muss allerdings mit Vorsicht von den gemes-







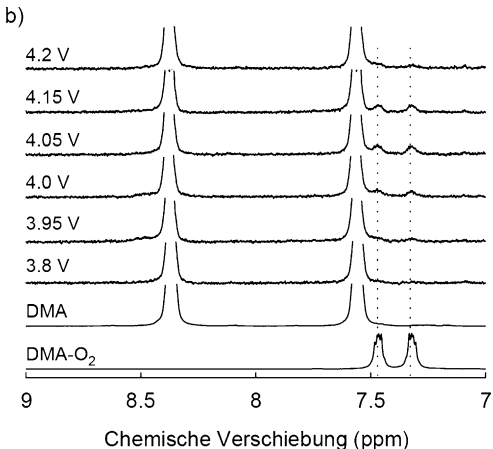


Abbildung 2. a) HPLC-Analyse des Elektrolyten nach der Polarisation von Kohlenstoff/Li₂CO₃/PTFE (9:1:1 m:m)-Kompositelektroden bei dem angegebenen Potentialen bis zu einer Kapazität von 0.064 mAh in 0.1 м LiTFSI in DME-Elektrolyten, der 30 mм DMA enthielt. ¹HNMR-Spektroskopie bestätigt, dass DMA-O₂ bei einer Retentionszeit von 2.6 min eluiert (Abbildung S2, S5). b) ¹H-NMR-Spektren derselben Elektrolytproben. Die Referenzmessungen zeigen den ursprünglichen Elektrolyten (bezeichnet als DMA) und den Elektrolyten bei dem DMA vollständig zu DMA-O2 durch in situ photogenerierten 1O2 (gekennzeichnet als DMA-O2), wie in den Hintergrundinformationen beschrieben, umgesetzt wurde.

senen Mengen an DMA-O₂ abgeleitet werden und stellt eine untere Grenze des tatsächlichen Wertes dar. Dies ist darauf zurückzuführen, dass möglicherweise nicht der gesamte gebildete ¹O₂ mit DMA reagiert und auch auf anderen Wegen abreagieren kann. Darüber hinaus könnte der Elektrolyt unvollständig extrahiert worden sein und daher in niedrigen ¹O₂-Werten resultieren. Bei höheren Spannungen (z. B. 4.2 V) könnte sich DMA-O2 zu einem geringen Ausmaß zersetzen, wie in Abbildung S1 gezeigt, was die beobachtete geringere Ausbeute von DMA-O2 bei 4.2 V im Vergleich zu der bei 4.05 V in Abbildung 3 erklären könnte. Insgesamt legen die Werte in Abbildung 3 nahe, dass der Großteil, wenn nicht der gesamte "fehlende O2" von der elektrochemischen Oxidation von Li₂CO₃ ¹O₂ bildet und daher nicht in der Gasphase detektiert wird.

Das völlige Fehlen der O2-Entwicklung während der Oxidation von Li₂CO₃ (Abbildung 1) impliziert, dass der ge-

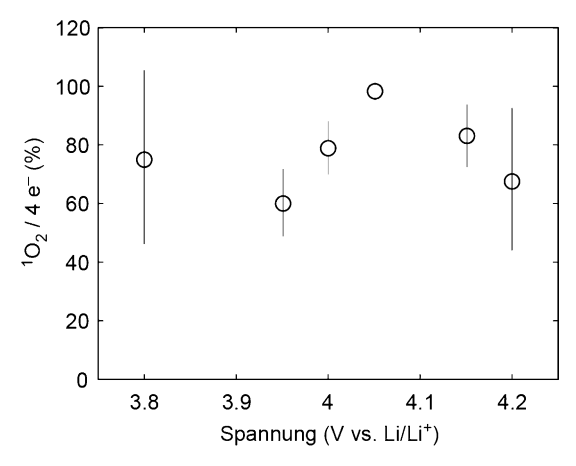


Abbildung 3. Die Menge an ¹O₂ (wie mittels HPLC als DMA-O₂ quantifiziert) relativ zu der geflossen Ladung in Reaktion 2bei unterschiedlichen Ladespannungen. Die Werte stellen eine untere Grenze dar, da möglicherweise nicht der gesamte 102 zu DMA-O2 reagiert oder der Elektrolyt unvollständig extrahiert wurde.

bildete ¹O₂ mit Zellkomponenten reagiert, anstatt auch nur zum Teil zu ³O₂ deaktiviert zu werden. Darum haben wir die Verwendung eines ¹O₂-Löschers untersucht, der den ¹O₂ zu $^3\mathrm{O}_2$ deaktiviert, $^{[10]}$ um gegebenenfalls $^3\mathrm{O}_2\text{-Entwicklung}$ zu erzielen. Eine Vielzahl an Löschern wurde in der Literatur beschrieben, einschließlich Azide und aliphatischer Amine.[10,11] Wir haben zuvor gezeigt, dass 1,4-Diazabicyclo-[2.2.2]octan (DABCO) in nicht-wässrigem Milieu effektiv ist. [8a] Die elektrochemische Stabilität von Löschern während der elektrochemischen Oxidation von Li₂CO₃ ist jedoch problematisch, da z.B. DABCO und andere Löscher (z.B. LiN₃) elektrochemisch bei 3.5-3.6 V oxidiert werden (Abbildung S7).[12] Dennoch könnte die Diffusion von unverbrauchtem Löscher vom Separator die Löscheroxidation an der Arbeitselektrode kompensieren und dadurch eine gewisse Löscheffizienz zeigen. Abbildung 4 zeigt die CO₂- und O2-Entwicklung während einer OEMS-Messung ähnlich wie in Abbildung 1, aber mit einem Elektrolyten der 30 mm

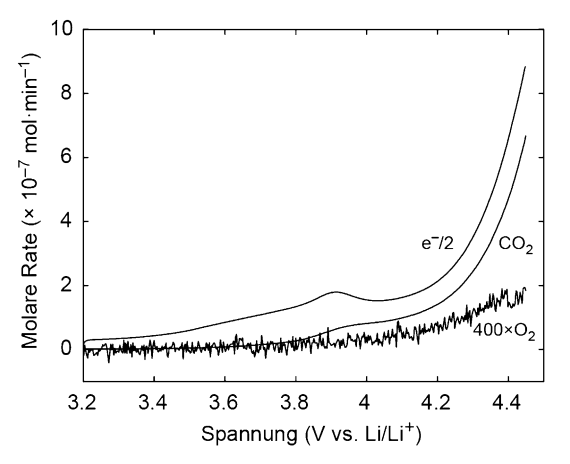


Abbildung 4. CO₂- und O₂-Entwicklung von Kohlenstoff/Li₂CO₃/PTFE (9:1:1 m:m)-Kompositelektroden während des linearen Potentialscans mit 0.14 mVs⁻¹ in 0.1 M LiTFSI in TEGDME, der 30 mM DABCO ent-

5629







DABCO enthält. Die Oxidation von DABCO erklärt den anodischen Prozess, der bei $\approx 3.6~V$ eintritt und bei 3.9~V gipfelt. Wie zuvor startet die $CO_2\text{-}Entwicklung$ bei $\approx 3.8~V$ und erreicht eine Rate von zirka $2\,e^-/CO_2$. Interessanterweise startet die $O_2\text{-}Entwicklung$ zusammen mit der $CO_2\text{-}Entwicklung$ bei $\approx 3.8~V$ mit einer ähnlichen Wachstumsrate mit steigender Spannung. Dieses Ergebnis untermauert die Bildung von 1O_2 und zeigt, dass wenn ein geeigneter Löscher gefunden werden könnte, Li_2CO_3 ohne die schädlichen Einflüsse von 1O_2 oxidiert werden könnte.

Die Detektion von ¹O₂, und von ³O₂ wenn ein Löscher anwesend ist, impliziert, dass der Mechanismus der Li₂CO₃-Oxidation die Bildung einer O-O-Bindung involviert. In Analogie zur Carbonat-Oxidation in wässrigem Milieu^[13] vorgeschlagen, dass Li-Peroxodicarbonat (LiO₂COOCO₂Li) als Intermediat gebildet wird. [4h] So ein Intermediat wurde jedoch angezweifelt, da (i) CO₃²⁻ schlecht löslich ist und daher möglicherweise nicht ausreichend beweglich ist, um sich zu Peroxodicarbonat zu verbinden, und (ii) die hohe Ladungsdichte des Peroxodicarbonat-Anions (⁻O₂COOCO₂⁻) keine O-O-Bindungsbildung erlaubt oder zu einem sofortigen Bindungsbruch führen würde. [4c,14] Jedoch sind weder große Carbonat-Beweglichkeit noch Dissoziation nötig, weshalb ein Mechanismus über das Peroxodicarbonat-Intermediat (Abbildung S8a) auf Grundlage vorhergehender Berichte vorgeschlagen werden kann. [4i,15] Formell kann Peroxodicarbonat über eine 1 e-Oxidation/Li+Extraktion zweier Li₂CO₃, die zwei LiO₂CO-Reste bilden und zu LiO₂COOCO₂Li **3** kombinieren, gebildet werden. Innerhalb der Li₂CO₃-Kristallstruktur (Abbildung S8b) erscheinen benachbarte Carbonat-Reste ausreichend nahe beieinander, um O-O-Bindungen zu bilden, wenn je 1e⁻ und 1Li⁺ extrahiert worden ist. Die Mobilität von Intermediaten oder sogar Dissoziation vom Kristallgitter ist daher nicht notwendig. Eine DFT-Studie über die Oxidation von Li₂CO₃-Oberflächen hat gezeigt, dass nach der ersten Oxidation/Li+-Extraktion weitere Li+-Extraktionen energetisch besonders günstig an benachbarten Carbonat-Einheiten sind, was ihre Rekombination wahrscheinlich macht. [15] Eine derartige Rekombination innerhalb des Kristallgitters wird auch durch DFT-Rechnungen unterstützt, die die Bildung von Li₂CO₃ über Peroxodicarbonat beschreiben, welches benachbarte Carbonat-Reste innerhalb des Li₂CO₃-Kristallgitter ergibt. Derselben Arbeit zu Folge stabilisiert die Koordination mit Li⁺-Ionen die O-O-Bindung in LiO₂COOCO₂Li stark im Vergleich zu ⁻O₂COOCO₂⁻, dessen Bildung in nicht-wässrigem Milieu unwahrscheinlich ist. Ein möglicher weiterer Pfad zur ¹O₂-Bildung ist in Abbildung S8a vorgeschlagen. Weitere Oxidation und Decarboxylierung könnten zu LiCO₄ (Abbildung S8a 4) führen, das dann wiederum ¹O₂ bilden könnte. Die Aufklärung des exakten Mechanismus wird jedoch weitere theoretische und/oder experimentelle Arbeiten benöti-

Zusammenfassend zeigen wir mittels einer selektiven 1O_2 -Sonde und Online-Massenspektrometrie, dass die elektrochemische Oxidation von Li_2CO_3 in nicht-wässrigem Milieu zur Bildung von bis zu stöchiometrischen Mengen an 1O_2 gemäß der Reaktion $2\text{Li}_2\text{CO}_3 \rightarrow 4\text{Li}^+ + 4\text{e}^- + 2\text{CO}_2 + ^1O_2$ führt. Dies erklärt die Abwesenheit der O_2 -Entwicklung, was

ein anhaltendes Rätsel und Ursache für viel Spekulation hinsichtlich potentieller reaktiver Sauerstoffspezies war. Die Reaktion startet bei ≈ 3.8 V, was nahe bei seinem thermodynamischen Wert von 3.82 V liegt. Wenn ein ¹O₂-Löscher anwesend war, wurde ein Teil des gebildeten ¹O₂ als ³O₂ freigesetzt. Li₂CO₃ ist ein universeller Passivierungsstoff in Li-Ionen-Batterie-Kathoden und bestimmend für die Grenzflächenreaktivität. Li₂CO₃ ist auch ein typisches Nebenprodukt in Li-O2-Kathoden und das angestrebte Entladeprodukt in Li-O2/CO2-Batterien und muss daher beim Laden oxidiert werden, um ein reversibles System darzustellen. Unsere Ergebnisse zeigen deutlich, dass sich die Li₂CO₃-Bildung, sogar in Spurenmengen, schädlich auf die Stabilität von allen Li-Batterien auswirkt, in denen Elektroden über 3.8 V vs. Li/Li⁺ betrieben werden. Das schließt die meisten der gegenwärtig untersuchten Kathoden ein. Strategien, um die ¹O₂- und Li₂CO₃-Bildung während des Batteriebetriebes zu vermeiden, sind daher unabdinglich.

Danksagung

S.A.F. dankt dem Europäischen Forschungsrat (ERC) und dem Horizon 2020 Forschungs- und Innovationsprogramm (Projektnr. 636069) der Europäischen Union. N.M. dankt für die Förderung seitens der TU Graz (Förderstipendium der Fakultät für Technische Chemie, Verfahrenstechnik und Biotechnologie und Research Abroad Stipendium). Die Arbeit an der UC Berkeley wurde vom Assistant Secretary for Energy Efficiency und Energy, Office of Vehicle Technologies des U.S. Department of Energy (Vetragsnr. DE-AC02-05CH11231), des Advanced Battery Materials Research (BMR) Programms unterstützt. S.E.R. dankt für die Unterstützung vom Department of Defense (DoD) durch das National Defense Science & Engineering Graduate Fellowship (NDSEG) Programm. Die Autoren danken S.M. Borisov für die Bereitstellung des Photosensibilisators und für Diskussionen, El-Cell GmbH für MS-Testzellen, C. Levpold für Diskussionen und J. Schlegl für die Anfertigung der für die Methoden notwendigen Apparaturen.

Interessenkonflikt

Die Autoren erklären, dass keine Interessenkonflikte vorliegen.

Stichwörter: Elektrochemie · Lithiumbatterien · Lithiumcarbonat · Reaktionsmechanismen · Singulett-Sauerstoff

Zitierweise: Angew. Chem. Int. Ed. **2018**, 57, 5529–5533 Angew. Chem. **2018**, 130, 5627–5631

^[1] J. W. Choi, D. Aurbach, Nat. Rev. Mater. 2016, 1, 16013.

^[2] a) C. Sigala, D. Guyomard, A. Verbaere, Y. Piffard, M. Tournoux, Solid State Ionics 1995, 81, 167 – 170; b) N.-S. Choi, Z. Chen, S. A. Freunberger, X. Ji, Y.-K. Sun, K. Amine, G. Yushin, L. F. Nazar, J. Cho, P. G. Bruce, Angew. Chem. Int. Ed. 2012, 51, 9994 – 10024; Angew. Chem. 2012, 124, 10134 – 10166; c) Q. Zhong, A. Bonakdarpour, M. Zhang, Y. Gao, J. R. Dahn, J. Electrochem.

Zuschriften





- Soc. **1997**, 144, 205–213; d) A. Jarry, S. Gottis, Y.-S. Yu, J. Roque-Rosell, C. Kim, J. Cabana, J. Kerr, R. Kostecki, J. Am. Chem. Soc. **2015**, 137, 3533–3539.
- [3] a) M. M. Thackeray, S.-H. Kang, C. S. Johnson, J. T. Vaughey, R. Benedek, S. A. Hackney, J. Mater. Chem. 2007, 17, 3112-3125;
 b) Z. Lu, L. Y. Beaulieu, R. A. Donaberger, C. L. Thomas, J. R. Dahn, J. Electrochem. Soc. 2002, 149, A778-A791;
 c) M. Sathiya, G. Rousse, K. Ramesha, C. P. Laisa, H. Vezin, M. T. Sougrati, M. L. Doublet, D. Foix, D. Gonbeau, W. Walker, A. S. Prakash, M. Ben Hassine, L. Dupont, J. M. Tarascon, Nat. Mater. 2013, 12, 827-835;
 d) K. Luo, M. R. Roberts, R. Hao, N. Guerrini, D. M. Pickup, Y.-S. Liu, K. Edström, J. Guo, A. V. Chadwick, L. C. Duda, P. G. Bruce, Nat. Chem. 2016, 8, 684-691;
 e) N. Yabuuchi, K. Yoshii, S.-T. Myung, I. Nakai, S. Komaba, J. Am. Chem. Soc. 2011, 133, 4404-4419.
- [4] a) Y.-C. Lu, B. M. Gallant, D. G. Kwabi, J. R. Harding, R. R. Mitchell, M. S. Whittingham, Y. Shao-Horn, Energy Environ. Sci. 2013, 6, 750-768; b) D. Aurbach, B. D. McCloskey, L. F. Nazar, P. G. Bruce, Nat. Energy 2016, 1, 16128; c) S. Meini, N. Tsiouvaras, K. U. Schwenke, M. Piana, H. Beyer, L. Lange, H. A. Gasteiger, Phys. Chem. Chem. Phys. 2013, 15, 11478-11493; d) Y. Wang, Z. Liang, Q. Zou, G. Cong, Y.-C. Lu, J. Phys. Chem. C 2016, 120, 6459 – 6466; e) V. Giordani, D. Tozier, H. Tan, C. M. Burke, B. M. Gallant, J. Uddin, J. R. Greer, B. D. McCloskey, G. V. Chase, D. Addison, J. Am. Chem. Soc. 2016, 138, 2656-2663; f) Z. Zhao, J. Huang, Z. Peng, Angew. Chem. Int. Ed. 2018, 57, 3874-3886; Angew. Chem. 2018, 130, 3936-3949; g) S. R. Gowda, A. Brunet, G. M. Wallraff, B. D. McCloskey, J. Phys. Chem. Lett. 2013, 4, 276-279; h) S. A. Freunberger, Y. Chen, Z. Peng, J. M. Griffin, L. J. Hardwick, F. Bardé, P. Novák, P. G. Bruce, J. Am. Chem. Soc. 2011, 133, 8040-8047; i) H.-K. Lim, H.-D. Lim, K.-Y. Park, D.-H. Seo, H. Gwon, J. Hong, W. A. Goddard, H. Kim, K. Kang, J. Am. Chem. Soc. 2013, 135, 9733 -9742; j) L. Wang, W. Dai, L. Ma, L. Gong, Z. Lyu, Y. Zhou, J. Liu, M. Lin, M. Lai, Z. Peng, W. Chen, ACS Omega 2017, 2, 9280-9286.
- [5] a) F. Lin, I. M. Markus, D. Nordlund, T.-C. Weng, M. D. Asta,
 H. L. Xin, M. M. Doeff, *Nat. Commun.* 2014, 5, 3529; b) S. E.
 Renfrew, B. D. McCloskey, *J. Am. Chem. Soc.* 2017, 139, 17853–17860; c) H. Zheng, Q. Sun, G. Liu, X. Song, V. S. Battaglia, *J.*

- Power Sources **2012**, 207, 134–140; d) A. R. Armstrong, M. Holzapfel, P. Novák, C. S. Johnson, S.-H. Kang, M. M. Thackeray, P. G. Bruce, *J. Am. Chem. Soc.* **2006**, *128*, 8694–8698.
- [6] S. Yang, P. He, H. Zhou, Energy Environ. Sci. 2016, 9, 1650– 1654.
- [7] a) P. R. Ogilby, Chem. Soc. Rev. 2010, 39, 3181-3209; b) J.
 Wandt, P. Jakes, J. Granwehr, H. A. Gasteiger, R.-A. Eichel,
 Angew. Chem. Int. Ed. 2016, 55, 6892-6895; Angew. Chem.
 2016, 128, 7006-7009.
- [8] a) N. Mahne, B. Schafzahl, C. Leypold, M. Leypold, S. Grumm, A. Leitgeb, G. A. Strohmeier, M. Wilkening, O. Fontaine, D. Kramer, C. Slugovc, S. M. Borisov, S. A. Freunberger, *Nat. Energy* 2017, 2, 17036; b) L. Schafzahl, N. Mahne, B. Schafzahl, M. Wilkening, C. Slugovc, S. M. Borisov, S. A. Freunberger, *Angew. Chem. Int. Ed.* 2017, 56, 15728–15732; *Angew. Chem.* 2017, 129, 15934–15938.
- [9] N. N. Greenwood, A. Earnshaw, Chemistry of the Elements, Elsevier, Amsterdam, 1984.
- [10] R. H. Young, D. R. Brewer in Singlet Oxygen. Reactions with Organic Compounds & Polymers (Hrsg.: B. Ranby, J. F. Rabek), Wiley, New York, 1978.
- [11] a) S. Miyamoto, G. R. Martinez, M. H. G. Medeiros, P. Di Mascio, J. Am. Chem. Soc. 2003, 125, 6172-6179; b) B. Enko, S. M. Borisov, J. Regensburger, W. Bäumler, G. Gescheidt, I. Klimant, J. Phys. Chem. A 2013, 117, 8873-8882.
- [12] D. Shanmukaraj, S. Grugeon, S. Laruelle, G. Douglade, J.-M. Tarascon, M. Armand, *Electrochem. Commun.* 2010, 12, 1344– 1347.
- [13] a) D. P. Jones, W. P. Griffith, J. Chem. Soc. Dalton Trans. 1980, 2526–2532; b) J. Zhang, C. W. Oloman, J. Appl. Electrochem. 2005, 35, 945–953.
- [14] S. Zhang, M. J. Nava, G. K. Chow, N. Lopez, G. Wu, D. R. Britt, D. G. Nocera, C. C. Cummins, *Chem. Sci.* **2017**, *8*, 6117–6122.
- [15] C. Ling, R. Zhang, K. Takechi, F. Mizuno, J. Phys. Chem. C 2014, 118, 26591 – 26598.

Manuskript erhalten: 21. Februar 2018 Akzeptierte Fassung online: 15. März 2018 Endgültige Fassung online: 14. April 2018